

# TỔNG HỢP PEROVSKIT $\text{LaCrO}_3$ BẰNG PHƯƠNG PHÁP ĐỐT CHÁY GEL Ở NHIỆT ĐỘ THẤP

Đến Tòa soạn 14-8-2007

<sup>1</sup>LƯU MINH ĐẠI, NGUYỄN XUÂN DŨNG<sup>2</sup>

<sup>1</sup>Viện Khoa học và công nghệ Việt Nam

<sup>2</sup>Đại học Vinh

## SUMMARY

*$\text{LaCrO}_3$  powder has been synthesised at low temperature ( $700^\circ\text{C}$ ) by the combustion of gel prepared from polyvinyl alcohol(PVA) and metal nitrates.  $\text{LaCrO}_3$  characterization is examined by X-ray diffraction (XRD), thermogravimetric and differential thermal analysis (TG-DTA), field emission scanning electron microscopy (FESEM) and BET (Brunauer-Emmet-Teller) measurements. The obtained sample under optional preparative conditions has nano scale with relatively large specific square area(  $\sim 14 \text{ m}^2/\text{g}$ ).*

## I - GIỚI THIỆU

Các perovskit chứa La và Cr (Lanthanum chromite) có nhiều ứng dụng như làm vật liệu kết nối (interconnector materials) trong pin nhiên liệu oxit rắn, điện cực lò nung nhiệt độ cao và xúc tác cho quá trình xử lý khí thải động cơ [1].

Việc điều chế perovskit ở nhiệt độ thấp có kích thước hạt bé và diện tích bề mặt lớn rất được quan tâm trong lĩnh vực xúc tác dị thể. Trong số các phương pháp tổng hợp perovskit, phương pháp đốt cháy (combustion method) thường được sử dụng vì quá trình điều chế xảy ra phản ứng tỏa nhiệt mạnh kèm theo một lượng lớn khí thoát ra ngăn ngừa sự kết tụ và tạo độ mịn cho sản phẩm [2, 3].

Trong bài báo này  $\text{LaCrO}_3$  được tổng hợp bằng phương pháp đốt cháy gel sử dụng polyvinyl ancol và muối nitrat kim loại.

## II - PHƯƠNG PHÁP ĐẶC TRUNG

Trộn hỗn hợp muối nitrat của các kim loại ở dạng tinh khiết phân tích lấy theo tỷ lệ mol La:

Cr = 1:1 với dung dịch PVA trong nước rồi làm bay hơi trên máy khuấy từ cho đến khi tạo gel nhớt màu xanh tím. Gel được đốt cháy ở  $300^\circ\text{C}$  tạo bột xốp màu đen. Khi nung ở nhiệt độ cao bột chuyển sang màu xanh.

Phân tích nhiệt được ghi trên máy DTA-50 và TGA-50 của hãng Shimadzu (Nhật Bản).

Giản đồ nhiễu xạ Röntgen được thực hiện trên máy Siemens D-5005 (CHLB Đức) với bức xạ  $\text{CuK}\alpha$  bước sóng  $\lambda = 1,5406 \text{ \AA}$ .

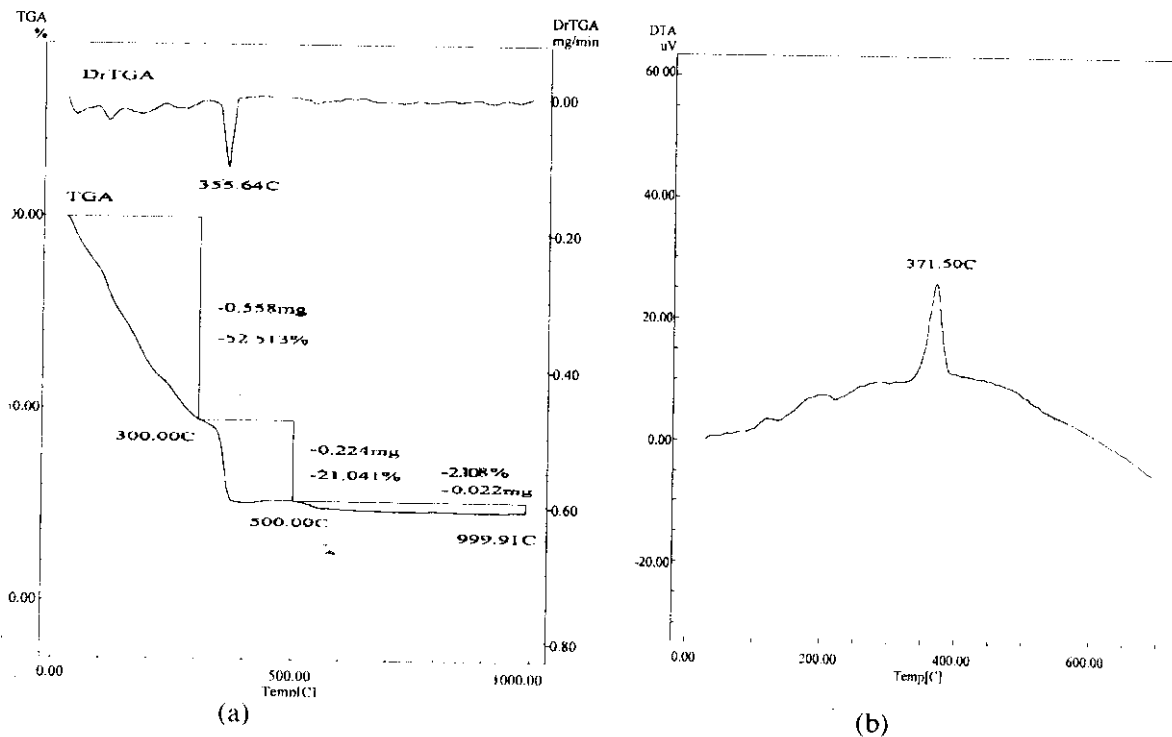
Phổ hồng ngoại được ghi trên máy Impact 410-Nicolet (Mỹ).

Diện tích bề mặt được đo bằng phương pháp BET (Brunauer-Emmet-Teller) trên máy SA của hãng COULTER (Mỹ).

Ảnh vi cấu trúc và hình thái học của perovskit được chụp bằng kính hiển vi điện tử nhiễu xạ trường trên máy Hitachi S-4800 (Nhật Bản).

## III - KẾT QUẢ VÀ THẢO LUẬN

### 1. Phân tích nhiệt



Hình 1: Giản đồ phân tích nhiệt TGA (a) và DTA (b) của Gel

Gel sau khi được sấy khô đem phân tích nhiệt kết quả cho ở hình 1. Nhìn vào giản đồ TGA cho thấy sự mất khối lượng của gel chủ yếu xảy ra ở nhiệt độ thấp hơn 400°C. Ở vùng nhiệt độ thấp hơn 300°C xảy ra sự mất nước hút ẩm, kết tinh và phân huỷ một phần PVA. Trong khoảng 300 - 500°C sự mất khối lượng kèm theo sự tỏa nhiệt mạnh diễn ra sự phân huỷ PVA còn lại và ion nitrat. Ở khoảng nhiệt độ lớn hơn 500°C sự giảm khối lượng được xác định là 2,108% có thể xảy ra quá trình hình thành pha tinh thể.

## 2. Lựa chọn nhiệt độ nung

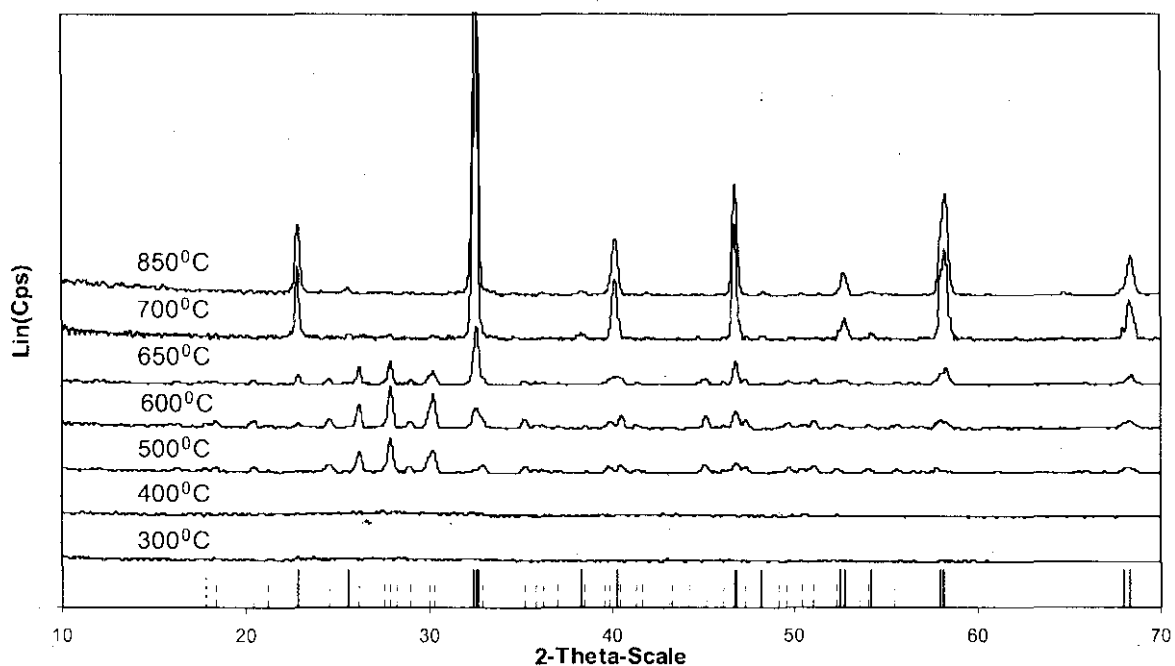
Giản đồ nhiễu xạ Rongphen của các mẫu điều chế ở pH = 3, tỷ lệ mol PVA/Kim loại (PVA/KL) = 3:1, nhiệt độ tạo gel Tg = 80°C và nhiệt độ nung 300, 400, 500, 600, 650, 700, 850°C trong 1h kết quả cho ở hình 2.

Mẫu nung ở 300, 400°C vẫn còn ở trạng thái vô định hình. Mẫu nung ở 500 và 600°C chủ yếu chứa pha LaCrO<sub>4</sub>. Mẫu nung ở 650°C pha

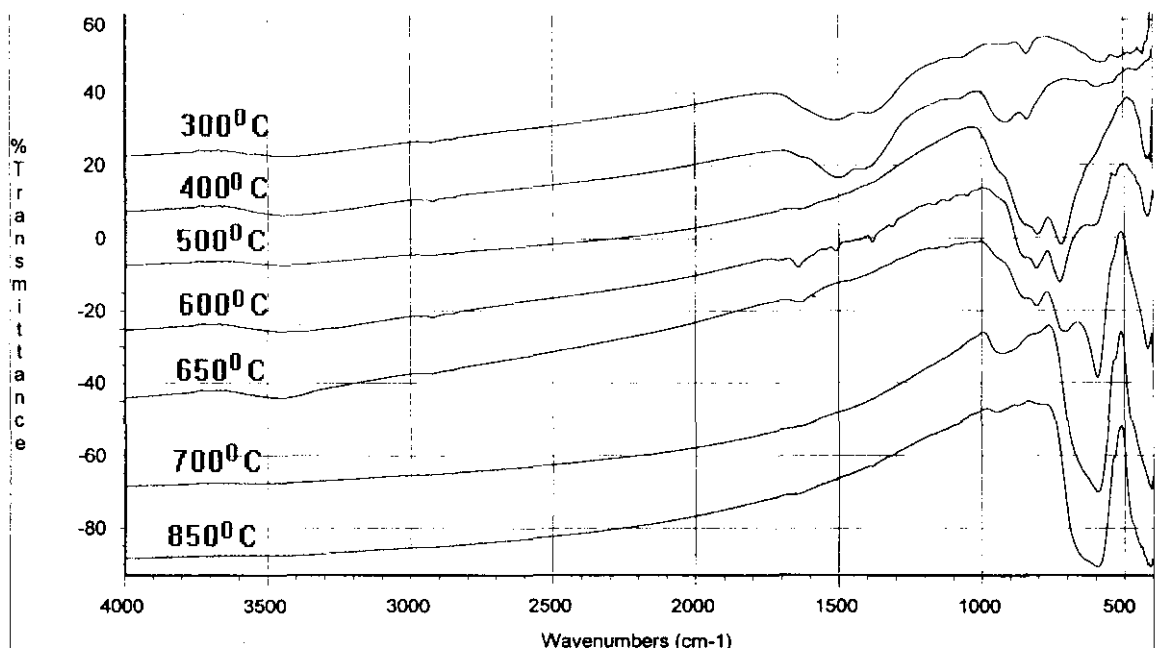
LaCrO<sub>3</sub> xuất hiện rõ hơn và pha LaCrO<sub>4</sub> kém đặc trưng hơn. Mẫu nung ở 700 và 800°C pha LaCrO<sub>4</sub> hầu như biến mất chỉ còn lại pha LaCrO<sub>3</sub>. Như vậy ở nhiệt độ cao pha LaCrO<sub>4</sub> kém bền bị phân hủy thành LaCrO<sub>3</sub> [6]:



Để làm rõ thêm quá trình biến đổi pha, các mẫu nung ở các nhiệt độ khác nhau ở trên đem chụp phổ FTIR kết quả cho ở hình 3. Mẫu nung ở 300, 400°C chứa pic trong khoảng 1490 - 1510 cm<sup>-1</sup> được gán cho dao động của nhóm CO chứng tỏ chất dư cacbon vẫn còn ở nhiệt độ thấp. Các pic trong khoảng 720 - 950 cm<sup>-1</sup> thể hiện rõ ở mẫu nung ở 500 - 600°C đặc trưng cho dao động của nhóm Cr-O trong LaCrO<sub>4</sub>. Mẫu nung ở 700, 850°C chứa các pic trong khoảng 410 - 620 cm<sup>-1</sup> đặc trưng cho dao động của nhóm Cr-O trong LaCrO<sub>3</sub> [7]. Ở mẫu nung 650°C chứa các pic đặc trưng cho dao động của nhóm Cr-O trong LaCrO<sub>3</sub> và LaCrO<sub>4</sub> phù hợp với kết quả phân tích X-Ray.



Hình 2: Giản đồ nhiễu xạ Röntgen của mẫu nung ở 300, 400, 500, 600, 650, 700 và 850°C; đường nét đứt (---) chỉ vị trí pic của pha LaCrO<sub>4</sub> [4], đường nét liền (—) chỉ vị trí pic của pha LaCrO<sub>3</sub>[5]



Hình 3: Quang phổ FTIR của các mẫu LaCrO<sub>3</sub> nung ở 300, 400, 500, 600, 650, 700 và 850°C

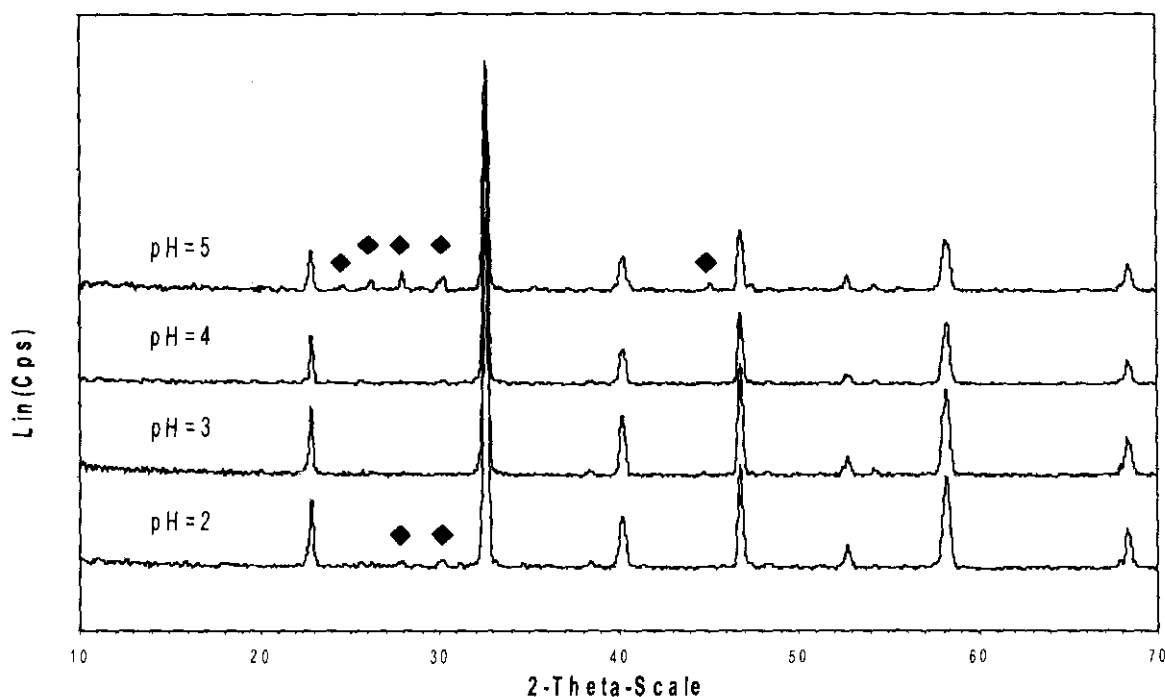
Từ những kết quả trên chúng tôi chọn nhiệt độ nung  $700^{\circ}\text{C}$  để điều chế mẫu.

### 3. Khảo sát điều kiện tối ưu tạo pha perovskit

#### a) Ảnh hưởng của pH tạo gel

Các mẫu được điều chế với tỷ lệ mol

$\text{PVA}/\text{KL} = 3:1$ , nhiệt độ tạo gel  $T_g = 80^{\circ}\text{C}$ , ở  $\text{pH} = 2 \div 5$  và nung ở  $700^{\circ}\text{C}$  trong 1 giờ. Giản đồ nhiễu xạ Ronghen (hình 4) của các mẫu này chỉ thấy mẫu điều chế ở  $\text{pH} = 2$  và 5 chứa các pi của pha  $\text{LaCrO}_4$ . Các mẫu còn lại chỉ chứa pha đơn  $\text{LaCrO}_3$ . Trong các thí nghiệm tiếp theo chúng tôi chọn  $\text{pH} = 3$  để điều chế mẫu



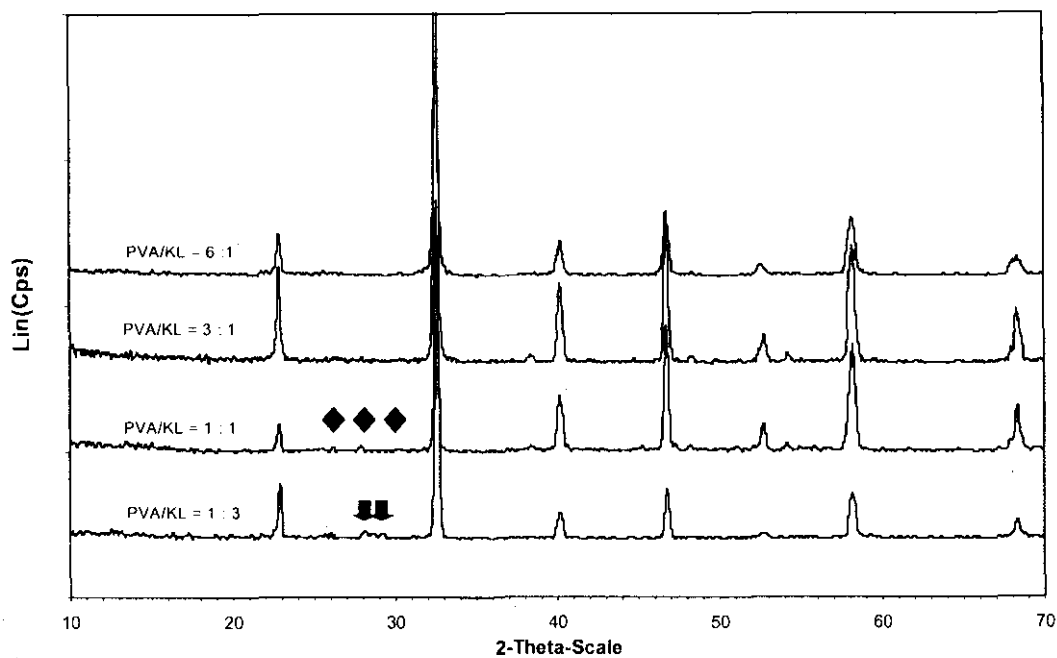
Hình 4: Giản đồ nhiễu xạ Ronghen của các mẫu điều chế từ gel ở  $\text{pH} = 2 \div 5$  và nung ở  $700^{\circ}\text{C}$ ; ◆: pha  $\text{LaCrO}_4$

#### b) Ảnh hưởng của tỷ lệ mol PVA/KL

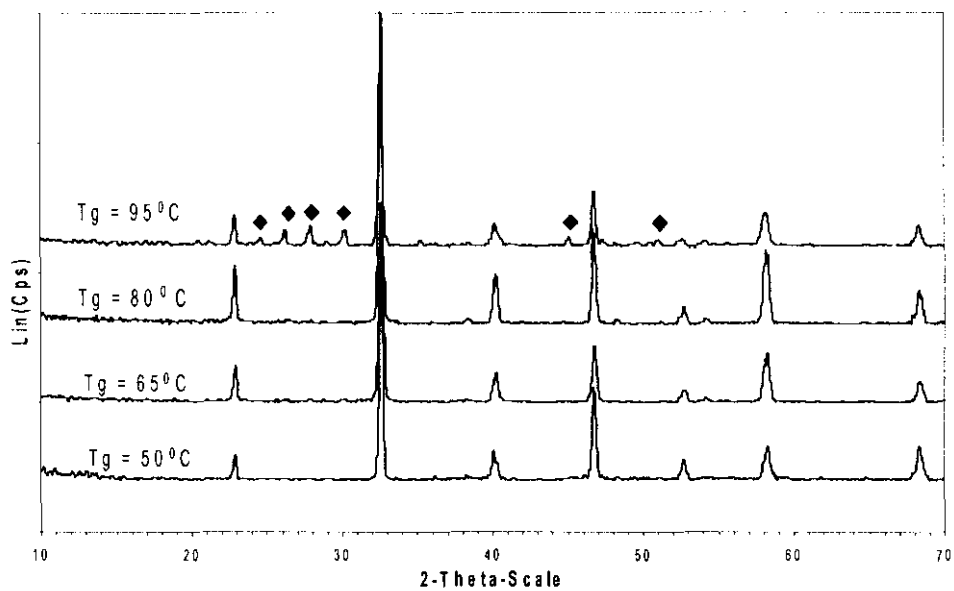
Các mẫu được điều chế ở  $\text{pH} = 3$ , nhiệt độ tạo gel  $T_g = 80^{\circ}\text{C}$  có tỷ lệ mol  $\text{PVA}/\text{KL} = 1:3$ ,  $1:1$ ,  $3:1$ ,  $6:1$  và nung ở  $700^{\circ}\text{C}$  trong 1 giờ. Phổ đồ Ronghen của các mẫu này chỉ ra ở hình 5. Mẫu điều chế ở  $\text{PVA}/\text{KL} = 1:3$  chứa pha  $\text{La}_2\text{CrO}_6$ , và ở tỷ lệ  $1:1$  chứa pha  $\text{LaCrO}_4$ . Mẫu có tỷ lệ  $\text{PVA}/\text{KL} = 3:1$  và  $6:1$  chỉ chứa một pha duy nhất. Trong các thí nghiệm tiếp theo chúng tôi chọn tỷ lệ  $\text{PVA}/\text{KL} = 3:1$ .

#### c) Ảnh hưởng của nhiệt độ tạo gel

Các mẫu điều chế ở nhiệt độ tạo gel khác nhau nhưng cùng  $\text{pH} = 3$ , tỷ lệ mol  $\text{PVA}/\text{KL} = 3:1$  và nung ở  $700^{\circ}\text{C}$  trong 1 giờ. Giản đồ nhiễu xạ Ronghen của các mẫu này chỉ ra trên hình 6. Từ giản đồ cho thấy mẫu điều chế ở  $T_g = 95^{\circ}\text{C}$  chứa pha  $\text{LaCrO}_4$ . Các mẫu còn lại đều đơn pha nhưng ở mẫu  $T_g = 80^{\circ}\text{C}$  cho dính nhiễu xạ cao hơn.



Hình 5: Giản đồ nhiễu xạ Ronghen của các mẫu điều chế ở tỷ lệ mol PVA/ KL 1: 3, 1:1, 3:1 và 6:1 và nung ở 600°C; ♦: pha LaCrO<sub>4</sub>; □: pha La<sub>2</sub>CrO<sub>6</sub>



Hình 6: Giản đồ nhiễu xạ Ronghen của các mẫu điều chế từ gel tạo thành ở 50, 65, 80, 95°C và nung ở 700°C; ♦: pha LaCrO<sub>4</sub>

Mẫu điều chế ở pH = 3, tỷ lệ mol PVA/KL = 3:1, nhiệt độ tạo gel 80°C để chụp FESEM, BET và kết quả cho thấy hạt có kích thước nano (dưới 100 nm) và diện tích bê mặt tương đối lớn (~14 m<sup>2</sup>/g).

#### IV - KẾT LUẬN

Đã tổng hợp được perovskit LaCrO<sub>3</sub> có cấu trúc nano với diện tích bê mặt ~14 m<sup>2</sup>/g bằng phương pháp đốt cháy gel.

Điều kiện tối ưu cho sự tạo pha perovskit LaCrO<sub>3</sub>, là pH = 3 ± 4, tỷ lệ mol PVA/KL = 3:1, nhiệt độ tạo gel 80°C và nhiệt độ nung 700°C.

#### TÀI LIỆU THAM KHẢO

1. Kong Kyu Park, Yoon Soo Han, Do Kyung Kim, Chong Hee Kim. Journal of materials science letters, 17, 785 - 787 (1998).
2. S. Biamino, C. Badini. Journal of the European Ceramic Society, 24, 3021 - 3034 (2004).
3. K. Zupan, M. Marinšek, S. Pejovnik, J. Maček, K. Zore. Journal of the European Ceramic Society, 24, 1935 - 1939 (2004).
4. J. D. Carter, H. U. Anderson, M. G. Shumsky. Journal of Materials Science, 31 551 557 (1996).
5. "X-Ray Powder Data File", ASTM card 33-701.
6. Atsushi Furusaki, Hidetaka Konno, Ryusaburo Furuichi. Thermochimica Acta, 253, 253 - 264 (1995).
7. Kouichi Azegami, Masaru Yoshinaka, Ken Hirota, Osamu Yamaguchi, Materials Research Bulletin, Vol. 33, No. 2, 341 - 348 (1998).